Volume 14 No. 3 | Desember 2024: 646-653

Pengembangan Deteksi Objek Dalam Rumah Bagi Tunanetra Berbasis Optimasi YOLOv8 Menggunakan Metode Ghost Module dan Attention Mechanism

Muhammad Insan Kamil¹, Syamsul Mujahidin², Riska Kurniyanto Abdullah³

¹²³Program Studi Informatika, Jurusan Matematika dan Teknologi Informasi, Institut Teknologi Kalimantan

¹11211058@student.itk.ac.id*, ²syamsul@lecturer.itk.ac.id, ³riska.abdullah@lecturer.itk.ac.id

Abstract

Visually impaired individuals often face difficulties in daily mobility due to due to the limitations of real-time object detection tools. Although specialized canes can aid in walking, but not yet effective enough. Advances in image-based object detection, especially the use of machine learning, offer promising solutions. Machine learning-based object recognition technologies, such as YOLOv8, could provide potential solutions. However, when implemented on small devices such as the Raspberry Pi 4, computing power is limited. This research aims to develop a lighter computational burden version of YOLOv8 nano. The proposed method involves utilizing ghost modules, downsampling, and attention mechanisms. The findings reveal that the use of ghost modules and downsampling effectively reduces the GFLOPs of the YOLOv8n model from 8.09 GFLOPs to 1.77 GFLOPs, decreasing the model's inference time by 57.6%, from 401.56 ms to 170.33 ms on Raspberry Pi 4 hardware, without compromising detection performance. Moreover, integrating attention mechanisms through attention max pooling enhances the model's accuracy, increasing the mAP by 1.3% compared to standard max pooling. This model successfully delivers more accurate and efficient detection, making it a potential solution for building embedded systems to assist visually impaired individuals in real-time object detection.

Keywords: ghost module, downsampling, attention mechanism, visually impaired, YOLOv8, Raspberry Pi 4

Abstrak

Penyandang tunanetra sering menghadapi kesulitan dalam mobilitas sehari-hari karena keterbatasan alat bantu deteksi objek secara *real-time*. Meskipun tongkat khusus dapat membantu dalam berjalan, namun belum cukup efektif. Kemajuan pengenalan objek berbasis citra, terutama penggunaan *machine learning*, menawarkan solusi yang menjanjikan. Teknologi pengenalan objek berbasis *machine learning*, seperti *YOLOv8*, bisa memberikan solusi potensial. Namun saat diimplementasikan di perangkat kecil seperti Raspberry Pi 4 terkendala kemampuan komputasi. Penelitian ini bertujuan untuk mengembangkan model *YOLOv8* versi nano dengan beban komputasi yang lebih ringan. Metode yang diusulkan melibatkan penggunaan *ghost module*, *downsampling*, dan *attention mechanism*. Hasil penelitian menunjukkan bahwa penggunaan *ghost module* dan *downsampling* efektif mengurangi *GFLOPs* model *YOLOv8n* dari 8.09 *GFLOPs* menjadi 1.77 *GFLOPs*, menurunkan waktu *inference* model hingga 57,6%, dari 401,56 ms menjadi 170,33 ms pada perangkat keras Raspberry Pi 4, tanpa mengorbankan performa deteksi. Selain itu, integrasi *attention mechanism* melalui *attention max pooling* meningkatkan akurasi model dengan peningkatan *mAP* sebesar 1,3% dibandingkan *max pooling* standar. Model ini berhasil memberikan deteksi yang lebih akurat dan efisien, menjadikannya solusi yang potensial dalam membangun sistem benam untuk membantu penyandang tunanetra dalam mendeteksi objek secara *real-time*.

Kata kunci: ghost module, downsampling, attention mechanism, tunanetra, YOLOv8, Raspberry Pi 4

©This work is licensed under a Creative Commons Attribution -ShareAlike 4.0 International License

1. Pendahuluan

Tunanetra adalah istilah umum yang digunakan untuk kondisi seseorang yang mengalami gangguan atau hambatan dalam indra penglihatannya. Untuk saat ini dalam melakukan mobilitas kegiatan sehari-hari, para penyandang tunanetra dibantu dengan menggunakan tongkat khusus [1]. Namun demikian, kendala yang dihadapi tunanetra ketika menggunakan tongkat khusus tersebut yakni belum mampu mendeteksi sebuah objek secara *real-time* dan mengeluarkan output berupa suara dari nama objek tersebut. Tentunya hal tersebut sangat merepotkan bagi para penyandang tunanetra [2].

Dengan dukungan metode *machine learning*, sistem dapat mengenali dan mengidentifikasi objek secara akurat, sehingga memberikan kemudahan dan

kenyamanan lebih bagi tunanetra. Metode ini memungkinkan sistem bekerja secara konsisten seperti manusia, meskipun masih terbatas pada kriteria yang telah ditentukan. Untuk mewujudkan sistem pendeteksi objek yang efektif, diperlukan perangkat kecil seperti Raspberry Pi 4 yang ringan dan kompatibel untuk kebutuhan mobilitas tinggi sehingga memberikan kenyamanan bagi penyandang tunanetra ketika melakukan aktivitas sehari-hari. Namun, keterbatasan kemampuan komputasi Raspberry Pi 4 menjadi tantangan, mengingat deteksi objek [3] membutuhkan daya komputasi besar. Oleh karena itu, diperlukan optimasi deteksi objek agar memiliki waktu inference yang rendah sehingga dapat berjalan efisien pada perangkat dengan kemampuan komputasi yang terbatas.

P-ISSN: 2089-3353

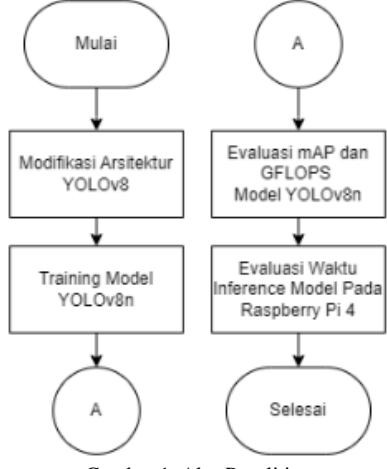
E-ISSN: 2808-9162

Penelitian yang berkaitan dengan optimasi deteksi objek telah banyak dilakukan sebelumnya. Akan tetapi, meskipun telah dilakukan optimasi, beban komputasi model masih cukup besar untuk diimplementasikan pada small device yang memiliki kemampuan komputasi yang terbatas. Pemilihan penggunaan small device dengan komputasi rendah dimaksudkan untuk mengurangi biaya yang dikeluarkan implementasi sistem deteksi objek untuk tunanetra. Fan dkk [4] telah mengusulkan untuk menggunakan metode channel prunning pada YOLOv8m yang berhasil mengurangi beban komputasi model sebesar 40% dari 78.9 GFLOPs menjadi 43.7 GFLOPs dengan pengurangan akurasi 0,1 % saja. Wu dkk [5] telah mengusulkan backbone baru pada YOLOv8n khusus segmentasi berupa *LCANet* yang berhasil mengurangi beban komputasi model sebesar 51% dari 12.4 GFLOPs menjadi 6.1 GFLOPs dengan pengurangan akurasi sebesar 3%. Namun, kedua pendekatan tersebut masih memiliki kelemahan yakni dari sisi beban komputasi yang masih relatif tinggi untuk small device. Maka berdasarkan hal tersebut, pada penelitian ini akan dibangun sebuah model YOLOv8 versi nano yang memiliki beban komputasi yang ringan dan performa yang baik dengan menggunakan metode modifikasi module convolution menjadi, penambahan proses downsampling, ghost module dan integrasi attention mechanism. Tujuan dari penelitian ini adalah menganalisis efektivitas penggunaan metode ghost module dan downsampling dalam mengurangi **GFLOPs** dari model YOLOv8n, sehingga menghasilkan waktu inference yang lebih sesuai dengan keterbatasan perangkat keras Raspberry Pi 4. Selain itu, penelitian ini juga bertujuan untuk menganalisis efektivitas penggunaan metode attention mechanism dalam meningkatkan mAP dari model YOLOv8n, sehingga mampu memberikan hasil deteksi objek vang lebih akurat.

2. Metode Penelitian

2.1. Alur Penelitian

Alur dalam penelitian ini terdiri dari beberapa langkah seperti yang tercantum pada Gambar 1.



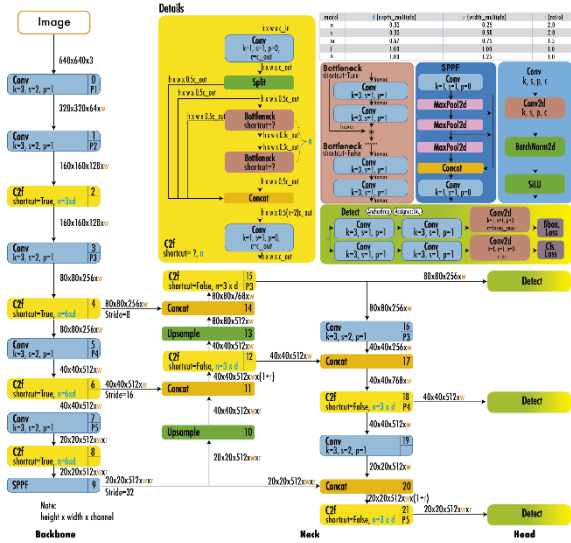
Gambar 1. Alur Penelitian

Langkah pertama dimulai dengan memodifikasi arsitektur YOLOv8 melalui penerapan berbagai metode optimasi, meliputi penambahan proses downsampling, integrasi attention mechanism, dan penggantian modul convolution dengan ghost module. Modifikasi ini bertujuan untuk mengurangi beban komputasi model sekaligus meningkatkan akurasi deteksi objek. Proses ini mencakup analisis awal terhadap pengaruh masingmasing metode terhadap struktur model dan implementasinya secara bertahap untuk menghasilkan kombinasi terbaik. Langkah kedua adalah melakukan training YOLOv8 baseline dan YOLOv8 yang telah dimodifikasi menggunakan dataset yang di dapatkan dari roboflow [6]. Dataset ini terdiri dari delapan kelas objek, yaitu manusia, televisi, tempat tidur, kursi, pintu, kipas angin, sofa, dan meja. Dataset mencakup 5669 gambar, dengan resolusi gambar pada dataset adalah 640x640 piksel, yang sesuai dengan kebutuhan arsitektur YOLOv8. Kemudian untuk epoch yanng digunakan pada saat training sebesar 100 dan batch sebesar 16 [7]. Langkah ketiga, melakukan evaluasi hasil dari training dari segi performa berdasarkan nilai mAP model dan beban komputasi berdasarkan nilai GFLOPs model. mAP (mean AveragePrecision) adalah metrik yang digunakan untuk mengevaluasi performa model deteksi objek. Metrik menggabungkan precision dan recall pada berbagai nilai threshold untuk memberikan gambaran seberapa baik model dapat mendeteksi dan mengklasifikasikan objek. Sementara GFLOPs (Giga Floating-Point Operations) merupakan ukuran yang mengindikasikan jumlah operasi floating-point yang dapat dieksekusi oleh sebuah model atau perangkat keras dalam satu detik. Setelah proses training model, langkah selanjutnya adalah melakukan evaluasi terhadap performa model-model tersebut. Evaluasi ini bertujuan untuk membandingkan nilai GFLOPs dan mAP antara model baseline YOLOv8n dengan model YOLOv8n yang telah dimodifikasi. Perbandingan ini dilakukan untuk melihat apakah implementasi downsampling, attention mechanism, dan ghost module memberikan pengaruh terhadap performa dan kecepatan deteksi model YOLOv8n. Langkah keempat adalah melakukan pengujian waktu inference pada perangkat keras dengan sumber daya terbatas, yaitu Raspberry Pi 4. Model yang diujikan meliputi YOLOv8n baseline dan model hasil optimasi yang memiliki keseimbangan terbaik antara akurasi dan beban komputasi. Kedua pengujian tersebut dilakukan menggunakan data testing berupa video yang sama untuk memastikan bahwa perbandingan yang dilakukan valid. Waktu inferensi diukur untuk menilai kelayakan model ketika dijalankan dalam keadaan real-time.

2.2. YOLOv8

YOLOv8 atau "You Only Look Once" versi 8, merupakan Algoritma untuk mendeteksi obiek pada citra, baik berupa gambar maupun video [8]. Selain itu, YOLOv8 juga bisa digunakan untuk melakukan tugas segmentasi dan klasifikasi. Gambar 2, menampilkan P-ISSN: 2089-3353 E-ISSN: 2808-9162

arsitektur YOLOv8 yang memiliki tiga bagian utama yaitu backbone, neck dan head [9].



Gambar 2. Arsitektur YOLOv8

Berdasarkan Gambar 3, YOLOv8 memiliki berbagai macam varian yaitu YOLOv8n, YOLOv8s, YOLOv8m, YOLOv8l dan YOLOv8x [10].

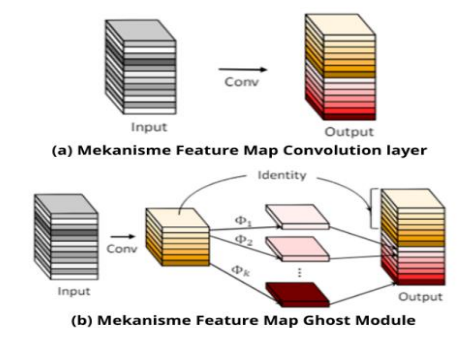
Model	size (pixels)	mAP ^{val} 50-95	Speed CPU ONNX (ms)	Speed A100 TensorRT (ms)	params (M)	FLOPs (B)
	640	37.3	80.4	0.99	3.2	8.7
YOLOv8s	640	44.9	128.4	1.20	11.2	28.6
	640	50.2	234.7	1.83	25.9	78.9
	640	52.9	375.2	2.39	43.7	165.2
	640	53.9	479.1	3.53	68.2	257.8

Gambar 3. Perbandingan Performa dan Beban Komputasi Varian

Pada penelitian ini, peneliti akan melakukan optimasi pada YOLOv8n karena memiliki beban komputasi yang paling kecil yaitu 8.7 GFLOPs ketika dievaluasi menggunakan COCO dataset.

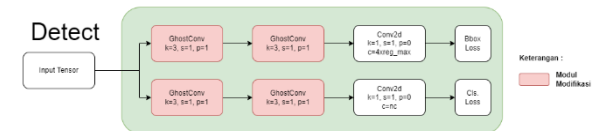
2.3. Ghost Module

Ghost module adalah inovasi dalam arsitektur jaringan neural yang dirancang untuk mengurangi beban komputasi dan parameter dalam jaringan, dengan tetap mempertahankan kemampuan ekstraksi fitur yang kuat [11]. Gambar 4, menampilkan perbedaan mekanisme dalam menghasilkan feature map antara convolution layer dan ghost module.



Gambar 4. Perbandingan Mekanisme Convolution Layer Dan Ghost Module

Untuk modifikasi modul convolution menjadi ghost module akan dilakukan pada modul detect di bagian head arsitektur YOLOv8 seperti yang terlihat pada Gambar 5.

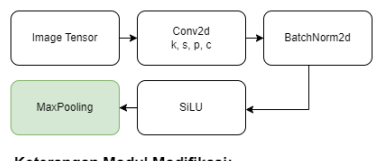


Gambar 5. Arsitektur Modifikasi Modul Detect

Penggunaan ghost module hanya diterapkan pada bagian head arsitektur YOLOv8 karena peran masingmasing komponen dalam proses deteksi objek memiliki urgensi yang berbeda. Backbone, yang bertugas mengekstraksi fitur dasar dari citra masukan, merupakan bagian krusial dalam menghasilkan fitur kompleks. Modifikasi konvolusi pada bagian ini, seperti dengan ghost module, berisiko mengurangi kemampuan model dalam menangkap detail penting, terutama pada objek kecil atau dengan variasi bentuk yang kompleks. Sementara itu, neck, yang berfungsi untuk menggabungkan informasi fitur dari berbagai tingkat resolusi, juga berperan penting dalam memastikan kualitas informasi fitur yang didapatkan dari backbone untuk mendukung prediksi akurat. Modifikasi pada neck dapat mengurangi efektivitas pengolahan informasi tersebut, sehingga menurunkan performa model secara keseluruhan. Sebaliknya, head bertugas memproses fitur yang telah disediakan oleh backbone dan *neck* untuk menghasilkan prediksi akhir berupa bounding box dan klasifikasi objek. Penggunaan *ghost module* pada bagian ini lebih aman karena hanya memengaruhi tahap akhir prediksi tanpa mengorbankan kualitas fitur awal yang telah diekstraksi. Selain itu, penerapan ghost module pada head membantu mengurangi beban komputasi model dengan menghasilkan fitur redundant secara efisien, sehingga GFLOPs dapat ditekan tanpa berdampak signifikan terhadap akurasi. Hal ini sangat penting untuk mengoptimalkan performa model pada perangkat dengan kapasitas komputasi terbatas, seperti Raspberry PI 4. Dengan membatasi modifikasi hanya pada bagian head, keseimbangan antara efisiensi komputasi dan akurasi model tetap terjaga.

2.4. Downsampling

Downsampling adalah proses mengurangi dimensi data input pada feature map menggunakan pooling layer, yang secara efektif memperkecil ukuran data dan biaya komputasi [12]. Penambahan proses downsampling akan dilakukan pada modul convolution pertama arsitektur YOLOv8. Hal ini bertujuan untuk menekan beban komputasi model semaksimal mungkin dengan mengurangi dimensi dari feature map dari awal proses ekstraksi feature. Gambar 6, menujukkan arsitektur dari modul convolution yang telah ditambahkan pooling layer berupa max pooling.



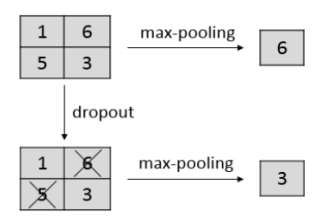
Keterangan Modul Modifikasi:

Penambahan Proses Downsampling

Gambar 6. Arsitektur Modifikasi Modul Convolution Dengan Max Pooling

2.5. Max Pooling Dropout

Dalam upaya mengurangi beban komputasi dan mencegah overfitting, akan dicoba penggunaan max pooling dropout [13]. Gambar 7, menampilkan mekanisme dari max pooling dropout.



Gambar 7. Mekanisme Max Pooling Dropout

Implementasi max pooling dropout mirip dengan max pooling seperti yang ditunjukkan pada Gambar 6, yaitu ditambahkan setelah lapisan fungsi aktivasi Silu. Hanya saja ada sedikit perbedaan ketika training dan proses inference. Untuk dropout hanya akan digunakan ketika proses training. Hal ini bertujuan untuk mencegah model terlalu bergantung pada pola tertentu dalam data training, sehingga model menjadi lebih general dan risiko overfitting dapat diminimalkan. Sementara itu, pada proses inference, dropout layer tidak diterapkan agar informasi pada data baru tidak hilang dan hasil prediksi tetap optimal. Algoritma implementasi max pooling dropout dapat dilihat sebagai berikut:

Algoritma Implementasi мах Poolina Poolina Dropout

Input: feature_map

Output: feature_map
Initialization conv, b_norm, act, dropout, max pooling

feature_map=act(b_norm(conv(feature_map))) training_mode is True: feature_map = dropout(feature_map) feature_map = max_pool(feature_map)

2.6. Attention Mechanism

Attention mechanism adalah teknik yang digunakan dalam pembelajaran mesin untuk meningkatkan kinerja model dengan memusatkan perhatian pada informasi yang relevan. Secara umum terdapat 4 modul yang biasa digunakan pada teknik attention mechanism yakni SENET (Squeeze-and-Excitation Network), CBAM (Convolutional Block Attention Module), BAM (Bottleneck Attention Module), ECA (Efficient Channel Modul attention mechanism Attention). digunakan pada penelitian ini adalah CBAM karena lebih cocok digunakan untuk deteksi objek.

CBAM) adalah modul yang terdiri dari dua layer yaitu channel attention dan spatial attention seperti yang

terlihat pada Gambar 2.6 [14]. Berbeda dengan metode lain seperti SENet (Squeeze-and-Excitation Network) [15], yang hanya berfokus pada channel attention, CBAM secara berurutan menggabungkan channel dan spatial attention . Pendekatan ini memungkinkan CBAM untuk mengidentifikasi fitur penting berupa channel sekaligus menentukan lokasi atau spatial objek, sehingga menghasilkan penyempurnaan fitur yang lebih akurat. Selain itu, CBAM memanfaatkan kombinasi average pooling dan max pooling dalam proses channel attention, yang memberikan representasi fitur lebih kaya dibandingkan SENet yang hanya menggunakan average pooling. Dengan tambahan arsitektur CBAM, berbagai model CNN menunjukkan peningkatan performa signifikan, misalnya pada eksperimen klasifikasi di *ImageNet-1K*. Model ResNet50 yang dilengkapi CBAM mencatatkan error top-1 sebesar 22,66%, lebih rendah dibandingkan SENet yang hanya mencapai 23,14%. Hal ini menunjukkan bahwa CBAM lebih unggul dibandingkan SENet dalam meningkatkan akurasi model.

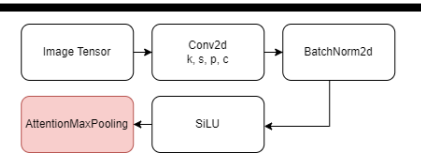
Pada penelitian ini, diajukan metode downsampling baru yaitu attention max pooling. Pada attention max pooling dilakukan penambahan modul CBAM sebelum proses downsampling menggunakan layer max pooling. Hal ini bertujuan untuk mengatasi potensi hilangnya informasi penting akibat penambahan proses downsampling pada modul convolution. Mekanisme ini diterapkan untuk memastikan bahwa fitur-fitur yang relevan dan signifikan diprioritaskan, sehingga kualitas representasi fitur tetap optimal meskipun dilakukan pengurangan resolusi feature map. Gambar 8, menampilkan perbandingan ilustrasi mekanisme max pooling dan attention max pooling.



Gambar 8. Perbandingan Attention Max Pooling dan Max Pooling

Attention max pooling dimulai dengan memproses hasil feature map dari proses konvolusi menggunakan modul CBAM. Module tersebut akan mempertahankan feature yang relevan dan mengurangi nilai dari feature yang tidak relevan. Kemudian, hasil feature map dari modul CBAM akan diproses menggunakan max pooling, sehingga *feature* yang relevan tetap bisa dipertahankan setelah proses downsampling. Gambar 9, menujukkan arsitektur dari modul convolution yang telah ditambahkan pooling layer berupa attention max pooling.

Volume 14 No. 3 | Desember 2024: 646-653



Keterangan Modul Modifikasi:

Penambahan Proses Downsampling
Dengan Integrasi Attention Mechanism

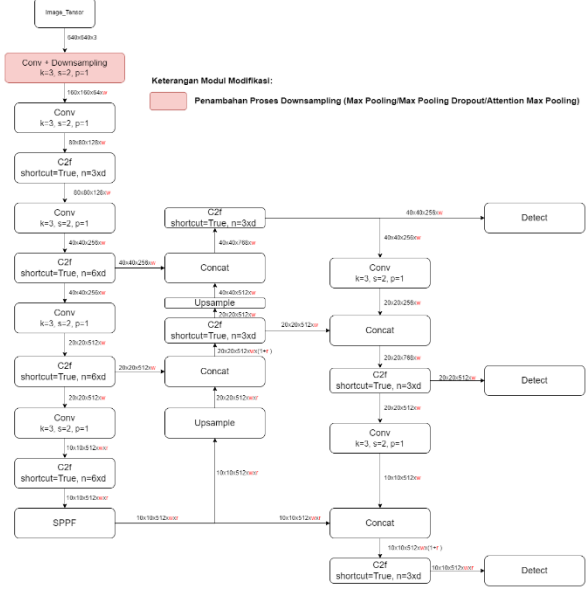
Gambar 9. Arsitektur Modifikasi Modul Convolution Dengan
Attention Max Pooling

3. Hasil dan Pembahasan

Penelitian ini mengevaluasi efektivitas berbagai metode *downsampling* dan kombinasi dengan *ghost module* pada *YOLOv8* untuk meningkatkan efisiensi komputasi sekaligus mempertahankan akurasi deteksi objek melalui integrasi *attention mechanism*.

3.1. Hasil Eksperimen *Downsampling* Dan Integrasi *Attention Mechanism*

Pada bagian ini, Arsitektur *YOLOv8n* dimodifikasi dengan metode *downsampling* pada *layer* pertama, yaitu *max pooling*, *max pooling dropout*, dan *attention max pooling* seperti yang terlihat pada Gambar 10.



Gambar 10. Arsitektur Modifikasi YOLOv8 Dengan Downsampling

Tabel 1, menyajikan hasil evaluasi performa dan beban komputasi berbagai variasi model yang menggunakan metode downsampling, baik dalam bentuk standar maupun yang dikombinasikan dengan teknik lainnya seperti dropout dan attention mechanism. Data pada tabel mencakup nilai mAP untuk data validasi dan testing, serta jumlah GFLOPs yang dibutuhkan oleh setiap model. mAP digunakan sebagai metrik utama untuk mengukur akurasi deteksi objek, dengan nilai yang lebih tinggi menunjukkan kemampuan model yang lebih baik dalam mengenali objek secara akurat. Sementara itu, *GFLOPs* menunjukkan komputasi model, yang berkaitan langsung dengan efisiensi pengolahan data pada perangkat keras dengan sumber daya terbatas.

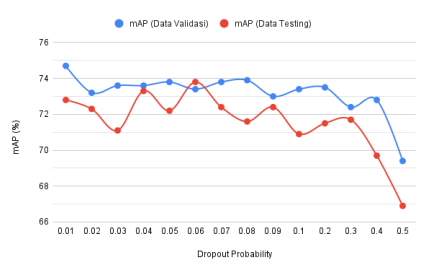
Tabel 1. Perbandingan Performa Dan Beban Komputasi Model Menggunakan Metode *Downsampling* dan *Attention Mechanism*

P-ISSN: 2089-3353

E-ISSN: 2808-9162

Model	Dropout Probability	<i>mAP</i> (Data Validasi)	mAP (Data Testing)	GFLOPs
YOLOv8n Baseline	-	73.1	71.1	8.09
YOLOv8n + Max Pooling	-	74.3	71.9	2.10
YOLOv8n + Max Pooling Dropout	0.01	74.7	72.8	2.10
YOLOv8n + Max Pooling Dropout	0.02	73.2	72.3	2.10
YOLOv8n + Max Pooling Dropout	0.03	73.6	71.1	2.10
YOLOv8n + Max Pooling Dropout	0.04	73.6	73.3	2.10
YOLOv8n + Max Pooling Dropout	0.05	73.8	72.2	2.10
YOLOv8n + Max Pooling Dropout	0.06	73.4	73.8	2.10
YOLOv8n + Max Pooling Dropout	0.07	73.8	72.4	2.10
YOLOv8n + Max Pooling Dropout	0.08	73.9	71.6	2.10
YOLOv8n + Max Pooling Dropout	0.09	73	72.4	2.10
YOLOv8n + Max Pooling Dropout	0.1	73.4	70.9	2.10
YOLOv8n + Max Pooling Dropout	0.2	73.5	71.5	2.10
YOLOv8n + Max Pooling Dropout	0.3	72.4	71.7	2.10
YOLOv8n + Max Pooling Dropout	0.4	72.8	69.7	2.10
YOLOv8n + Max Pooling Dropout	0.5	69.4	66.9	2.10
YOLOv8n + Attention Max Pooling	-	74.4	72.1	2.13

Pada teknik max pooling dropout dengan berbagai probabilitas dropout, terlihat bahwa penggunaan dropout dengan nilai 0.01 hingga 0.09 umumnya mampu mempertahankan atau meningkatkan performa model.



Gambar 11. Grafik Perbandingan Nilai mAP Model Berdasarkan Probabilitas Dropout Pada Metode Max Pooling Dropout

Gambar 11, menggambarkan perubahan nilai mAP pada data validasi dan data testing terhadap variasi probabilitas dropout. Nilai mAP tertinggi pada data testing dicapai pada probabilitas dropout 0.06, yaitu sebesar 73,8%. Namun, saat dropout meningkat lebih dari 0.1, mAP menurun secara bertahap. Penurunan paling signifikan terjadi pada dropout dengan nilai 0.5, mendapatkan mAP hanya 69,4% pada data validasi dan 66,9% pada data testing, yang menunjukkan bahwa dropout dengan nilai yang cukup tinggi menyebabkan hilangnya informasi penting dalam data, sehingga mengurangi performa model secara drastis.

Pada metode attention max pooling, model mencapai nilai mAP 74,4% pada data validasi dan 72,1% pada data testing, dengan sedikit peningkatan beban komputasi menjadi 2.13 GFLOPs. Hal ini menunjukkan bahwa attention mechanism membantu mempertahankan informasi penting selama proses downsampling, memberikan performa yang stabil dengan beban komputasi yang relatif rendah.

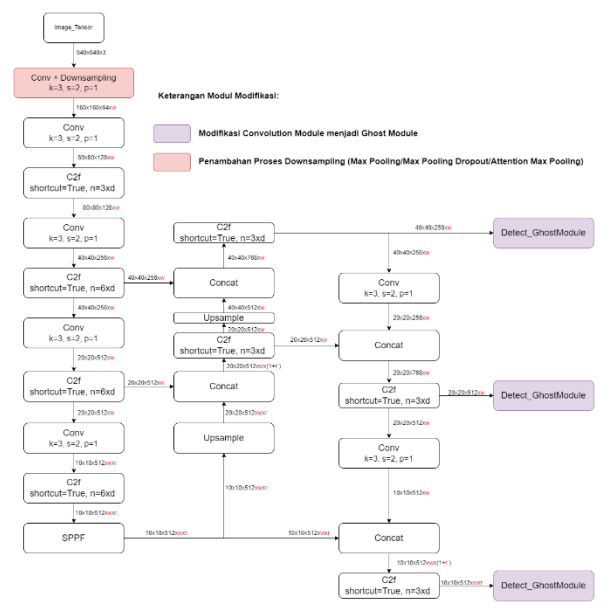
Peningkatan performa pada attention max pooling dibandingkan dengan max pooling dropout dapat dijelaskan oleh perbedaan mendasar dalam cara kedua metode ini memproses informasi. Dalam attention max mekanisme attention secara pooling, memberikan bobot lebih besar pada fitur yang dianggap relevan, sementara fitur yang kurang signifikan ditekan. Pendekatan ini memungkinkan model untuk secara efektif mempertahankan informasi yang penting untuk deteksi objek, sehingga menghasilkan prediksi yang lebih akurat.

Sebaliknya, pada max pooling dropout, penghapusan acak node selama pelatihan mengurangi risiko overfitting dengan meningkatkan kemampuan generalisasi. Namun, metode ini tidak memiliki selektivitas adaptif seperti pada attention. Akibatnya, pada probabilitas dropout tertentu, informasi yang relevan dapat ikut dihapus, sehingga mengurangi akurasi model. Hal ini terutama terlihat pada nilai dropout yang lebih tinggi, di mana kehilangan informasi menjadi lebih signifikan. Dengan demikian, attention max pooling menawarkan pendekatan yang lebih terarah dan efisien dalam mempertahankan

informasi penting, menghasilkan performa yang lebih baik tanpa mengorbankan stabilitas atau efisiensi komputasi secara berlebihan.

3.2. Hasil Kombinasi Ghost Module, Downsampling Dan Integrasi Attention Mechanism

Pada bagian ini, Arsitektur YOLOv8 dimodifikasi dengan metode downsampling, integrasi attention mechanism dan ghost module seperti yang terlihat pada Gambar 12.



Gambar 12. Arsitektur Modifikasi YOLOv8 Dengan Downsampling, Attention Mechanism Dan Ghost Module

Berdasarkan Tabel 2, ghost module berhasil mengurangi GFLOPs model secara signifikan dibandingkan baseline YOLOv8n. Penambahan ghost module saja menghasilkan GFLOPs sebesar 6.67, jauh lebih rendah dari baseline, dengan nilai mAP sebesar 73% pada data validasi dan 73.1% pada data testing. Ini menunjukkan bahwa ghost module mampu mengurangi beban komputasi model dengan tetap mempertahankan akurasi deteksi dan meningkat generalisai karena rentang *mAP* data validasi dan data *testing* tidak jauh.

Ghost module secara signifikan mengurangi GFLOPs karena prinsip kerjanya yang menggantikan sebagian besar operasi konvolusi dengan operasi yang lebih sederhana berupa depthwise convolution [11]. Ghost module menghasilkan fitur tambahan melalui transformasi linier dari fitur utama, sehingga mengurangi jumlah operasi matriks intensif tanpa kehilangan informasi penting. Dengan desain ini, ghost module mempertahankan representasi fitur yang cukup untuk mendeteksi objek secara akurat, meskipun menggunakan komputasi yang lebih efisien. Akurasi model tetap tinggi karena ghost module secara strategis mempertahankan informasi penting melalui kombinasi fitur utama dan fitur sintetis yang dihasilkan dari depthwise convolution, memastikan kinerja deteksi tetap stabil meskipun beban komputasi menurun secara signifikan.

Tabel 2. Perbandingan Performa dan Beban Komputasi Model Menggunakan Metode Ghost Module, Downsampling Dan Attention Mechanism

Model	Dropout Probability	<i>mAP</i> (Data Validasi)	mAP (Data Testing)	GFLOPs
YOLOv8n + Ghost Module	-	73	73.1	6.67
YOLOv8n + Ghost Module + Max Pooling Dropout	0.06	72.8	71.4	1.75
YOLOv8n + Ghost Module + Max Pooling	-	73.6	71.9	1.75
YOLOv8n + Ghost Module + Attention Max Pooling	-	73.3	73.2	1.77

Ketika ghost module dikombinasikan dengan berbagai metode downsampling, variasi performa model dapat diamati. Penggunaan max pooling sebagai metode downsampling menghasilkan mAP sebesar 73.6% pada data validasi dan 71.9% pada data testing, dengan beban komputasi yang rendah, yaitu 1.75 GFLOPs. Namun, selisih mAP yang cukup besar antara data validasi dan testing menunjukkan bahwa pola deteksi objek yang dihasilkan kurang general dan tidak stabil terhadap data baru.

Ketika max pooling dropout dikombinasikan dengan ghost module menggunakan probabilitas sebesar 0.06, mAP yang diperoleh turun menjadi 72.8% pada data validasi dan 71.4% pada data testing. Meskipun dropout bertujuan untuk mencegah overfitting, kombinasi ini justru tidak memberikan keunggulan signifikan dibandingkan max pooling tanpa dropout. Selain itu, selisih antara mAP validasi dan testing tetap menunjukkan besar, bahwa stabilitas generalisasi model belum optimal.

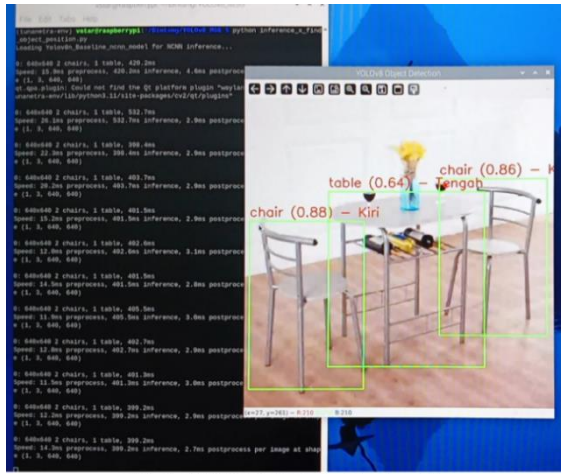
Penambahan attention mechanism melalui metode attention max pooling memberikan hasil yang lebih baik dan stabil. Kombinasi ghost module dengan attention max pooling menghasilkan mAP sebesar 73.3% pada data validasi dan 73.2% pada data testing, dengan beban komputasi sebesar 1.77 GFLOPs. Perbedaan mAP yang sangat kecil antara data validasi dan testing menunjukkan bahwa model mampu menghasilkan pola deteksi yang lebih general dan konsisten di berbagai data. Hal ini mengindikasikan bahwa attention mechanism membantu mempertahankan informasi penting selama proses downsampling, sehingga meningkatkan stabilitas dan akurasi model meskipun terjadi reduksi dimensi.

Dari analisis ini, dapat disimpulkan bahwa kombinasi ghost module dan attention max pooling adalah yang

paling optimal. Dengan stabilitas performa yang baik pada data validasi dan testing serta beban komputasi yang tetap rendah, pendekatan ini menunjukkan potensi besar untuk aplikasi deteksi objek dalam kondisi sumber daya komputasi yang terbatas.

3.2. Pengujian Waktu Inference Model

Pengujian waktu inference dalam penelitian ini dilakukan untuk mengevaluasi efisiensi model dalam mendeteksi objek pada perangkat keras dengan keterbatasan daya komputasi, seperti Raspberry Pi 4. Pengujian dilakukan menggunakan input berupa video yang sama untuk memastikan hasil perbandingan antara YOLOv8n baseline dengan model hasil optimasi tetap valid. Untuk model hasil optimasi yang digunakan berupa YOLOv8n yang telah ditingkatkan menggunakan ghost module dan attention max pooling. Skenario pengujian melibatkan pemrosesan video secara real-time pada Raspberry Pi 4. Hal ini mencerminkan kondisi penggunaan model yang sesungguhnya, di mana sistem diharapkan mampu memberikan deteksi objek secara langsung. Faktor eksternal seperti pencahayaan dan jarak objek tidak divariasikan dalam pengujian ini untuk menjaga konsistensi hasil dan fokus pada evaluasi waktu inference.





(b) Hasil Deteksi Hasil Deteksi YOLOv8n + Ghost Module + Attention Max Pooling Pada Raspberry Pi 4

Gambar 13. Perbandingan Waktu Inference YOLOv8n Baseline dan YOLOv8n Setelah Optimasi Pada Raspberry Pi 4

Volume 14 No. 3 | Desember 2024: 646-653

Gambar 13, menunjukkan hasil deteksi pada Raspberry Pi 4, dimana *YOLOv8n baseline* membutuhkan ratarata waktu *inference* sebesar 401,56 ms, sedangkan model hasil optimasi hanya memerlukan 170,33 ms. Hal ini menunjukkan bahwa waktu *inference* berhasil dikurangi hingga 57,6%. Penurunan waktu *inference* ini mencerminkan keberhasilan integrasi *ghost module* dan *attention max pooling*, yang terbukti mampu menyederhanakan komputasi internal model tanpa mengurangi kemampuan deteksi. Efisiensi yang dicapai melalui optimasi ini menjadikan model lebih sesuai untuk aplikasi *real-time*, khususnya pada perangkat keras dengan keterbatasan daya komputasi seperti Raspberry Pi 4.

Pengurangan waktu *inference* yang signifikan ini memiliki dampak yang sangat penting, terutama dalam mendukung sistem bantuan visual bagi tunanetra yang memerlukan respons cepat dan akurat untuk mengidentifikasi objek di lingkungan sekitar. Kecepatan pemrosesan yang lebih tinggi memastikan bahwa informasi yang diterima oleh pengguna tetap relevan dalam situasi *real-time*, sehingga meningkatkan efektivitas sistem secara keseluruhan.

4. Kesimpulan

Penelitian ini menunjukkan bahwa penggunaan metode ghost module dan downsampling pada model YOLOv8n secara efektif mengurangi GFLOPs, sehingga waktu inferensi menjadi lebih sesuai dengan keterbatasan perangkat keras seperti Raspberry Pi 4. Optimasi yang dilakukan mampu menurunkan waktu inferensi hingga 57,6%, dari 401,56 ms pada model baseline menjadi 170,33 ms pada pengujian data testing berupa video, yang relevan untuk aplikasi dunia nyata seperti pendeteksian objek secara real-time. Pengurangan waktu inferensi ini berdampak signifikan pada pengalaman pengguna, karena memungkinkan respons sistem yang lebih cepat dan akurat dalam memberikan informasi tentang objek di sekitar mereka. Selain itu, penerapan attention mechanism melalui attention max pooling terbukti meningkatkan akurasi deteksi model. Kombinasi ghost module dan attention max pooling menghasilkan peningkatan mAP yang lebih tinggi dan stabil, dengan akurasi pada data pengujian meningkat hingga 1,3% dibandingkan metode max pooling standar. Penelitian ini membuka peluang untuk implementasi model yang lebih efisien pada perangkat keras dengan keterbatasan komputasi.

Daftar Rujukan

[1] Rahmawati, R.Y., Sunandar, A.: Peningkatan Keterampilan Orientasi dan Mobilitas melalui Penggunaan Tongkat bagi Penyandang Tunanetra. J. ORTOPEDAGOGIA. 4, 100–103 (2018). https://doi.org/10.17977/um031v4i12018p100

P-ISSN: 2089-3353

E-ISSN: 2808-9162

- [2] A. Fauroq, R. Alfita, D.R.: Rancang Bangun Tongkat Cerdas Untuk Penyandang Tunanetra Berbasis Mikrokontroler Menggunakan Fuzzy Logic metode Sugeno. J. Tek. Elektro dan Komput. TRIAC. 5, (2018)
- [3] Tikasni, E., Utami, E., Ariatmanto, D.: Analisis Akurasi Object Detection Menggunakan Tensorflow Untuk Pengenalan Bahasa Isyarat Tangan Menggunakan Metode SSD. J. Fasilkom. 14, 385–393 (2024)
- [4] Fan, Y., Mao, S., Li, M., Wu, Z., Kang, J.: CM-YOLOv8: Lightweight YOLO for Coal Mine Fully Mechanized Mining Face. Sensors. 24, (2024). https://doi.org/10.3390/s24061866
- [5] Wu, Y., Han, Q., Jin, Q., Li, J., Zhang, Y.: LCA-YOLOv8-Seg: An Improved Lightweight YOLOv8-Seg for Real-Time Pixel-Level Crack Detection of Dams and Bridges. Appl. Sci. 13, (2023). https://doi.org/10.3390/app131910583
- [6] Roboflow, 2024. *Indoor Object Dataset*. [Online] (Updated 7 November 2024) Available at: https://universe.*roboflow*.com/csgitk/indoor_object_ta/dataset/1 0 [Accessed 20 November 2024].
- [7] Chien, C.-T., Ju, R.-Y., Chou, K.-Y., Chiang, J.-S.: YOLOv8-AM: YOLOv8 with Attention Mechanisms for Pediatric Wrist Fracture Detection. 1–25 (2024)
- [8] Wijanarko, R.G., Pradana, A.I., Hartanti, D.: IMPLEMENTASI DETEKSI DRONE MENGGUNAKAN YOLO (You Only Look Once). J. Fasilkom. 14, 437–442 (2024)
- [9] Terven, J., Córdova-Esparza, D.M., Romero-González, J.A.: A Comprehensive Review of YOLO Architectures in Computer Vision: From YOLOv1 to YOLOv8 and YOLO-NAS. Mach. Learn. Knowl. Extr. 5, 1680–1716 (2023). https://doi.org/10.3390/make5040083
- [10] Ultralytics, 2024. *Ultralytics YOLOv8*. [Online] (Updated 27 September 2024) Available at: https://docs.ultralytics.com/models/yolov8/#performance-metrics [Accessed 20 November 2024].
- [11] Han, K., Wang, Y., Tian, Q., Guo, J., Xu, C., Xu, C.: GhostNet: More features from cheap operations. Proc. IEEE Comput. Soc. Conf. Comput. Vis. Pattern Recognit. 1577–1586 (2020). https://doi.org/10.1109/CVPR42600.2020.00165
- [12] Emmert-Streib, F., Yang, Z., Feng, H., Tripathi, S., Dehmer, M.: An Introductory Review of Deep Learning for Prediction Models With Big Data. Front. Artif. Intell. 3, 1–23 (2020). https://doi.org/10.3389/frai.2020.00004
- [13] Wu, H., Gu, X.: Max-pooling dropout for regularization of convolutional neural networks. Lect. Notes Comput. Sci. (including Subser. Lect. Notes Artif. Intell. Lect. Notes Bioinformatics). 9489, 46–54 (2015). https://doi.org/10.1007/978-3-319-26532-2_6
- [14] Woo, S., Park, J., Lee, J.Y., Kweon, I.S.: CBAM: Convolutional block attention module. Lect. Notes Comput. Sci. (including Subser. Lect. Notes Artif. Intell. Lect. Notes Bioinformatics). 11211 LNCS, 3–19 (2018). https://doi.org/10.1007/978-3-030-01234-2_1
- [15] Hu, J., Shen, L., Albanie, S., Sun, G., Wu, E.: Squeeze-and-Excitation Networks. IEEE Trans. Pattern Anal. Mach. Intell. 42, 2011–2023 (2020). https://doi.org/10.1109/TPAMI.2019.2913372